

V-91 鋼骨鉄筋コンクリート(SRC)部材の曲げ疲労に関する研究

東京都立大学 正員 村田二郎
 東京大学 正員 西岡 隆
 首都高速道路公団 正員 津野和男
 " 正員 泉 滉明
 (株) 駒井鉄工所 正員 ○梶山昭光

1. まえがき

SRC部材は建築分野で広く用いられているが、土木において利用された例は比較的少ない。しかし、最近は市街地の高架橋の橋脚を始め、土木構造物としてよく使用されており、疲劳に対する設計上重要なものと考えられるので、SRC部材の曲げ疲労について、RC部材と比較し、検討した。

2. 実験概要および使用材料

供試体は両部材とも1種類各4本、合計8本である。他に同じ供試体について、静的載荷試験のみ1本が行われた。供試体の断面は図-1に示すように、40×40 cmの正方形で、鉄筋は両部材に共通で、主筋はD16(SD30)、スチーブンはD13(SD30)を用いた。鉄骨は溶接H型断面で、上下フランジは等断面であり、SM50 A材を使用した。

供試体の鋼材比はRC部材で137%、SRC部材で470%である。表-1は本実験に用いた各材料の試験結果である。

また、SRC部材では桁端部に端板を溶接し、桁端における鉄骨の定着を充分ならしめるように配慮した。

3. 実験方法

供試体はスパンを5.0 mにとり、荷重を中央振りわけ1333 kgの2点載荷とし、 $\frac{3 \times 300}{2} = 900$ kg + $\frac{14 \times 150}{2} = 2100$ kgのローゼンハウゼン型

疲労試験機(50t用)

にて、毎分200回の繰り返し速度で試験を行った。上限荷重は弾性計算にて引張屈筋応力が2000~2400 MPa程度になるとるように決め、下限は一律300 MPa(以下も自重の影響を無視する)とした。初期の上限荷重で200万回繰り

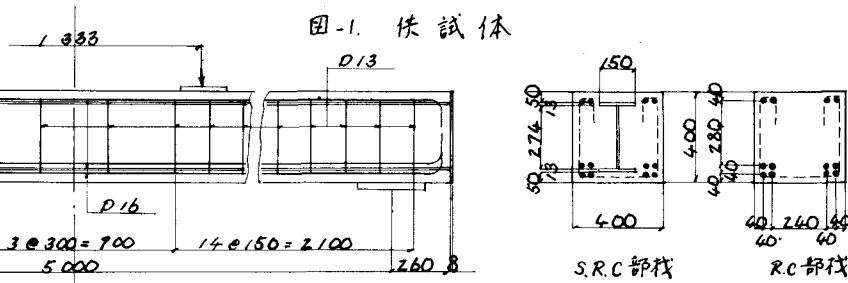


図-1. 供試体

番号	種別	2.274-ト			鉄筋		鉄骨	
		6cm	6m	E _c	6su	6kg	6su	6kg
No. 1	S.R.C	370	32.3	4.23	3600	5400	3600	5500
2	"	414	32.7	2.89	"	"	"	"
3	"	354	31.5	3.68	"	"	"	"
4	"	347	31.2	2.63	"	"	"	"
5	R.C	477	36.4	2.83	"	"	"	"
6	"	457	33.3	2.64	"	"	"	"
7	"	361	31.2	2.30	"	"	"	"
10	"	379	32.0	2.86	"	"	"	"

表-1. 材料試験結果

(単位 kg/cm²)

して破壊しない場合は、更に 200 回まで荷重を繰返し載荷を行なった。

疲労試験前と繰返し回数が 50 万回毎に、その時の上限荷重まで 2.0 ton 中で静的載荷試験を行い、スパン中央より 20.0 cm 離れた断面内に予め貼付した抵抗線ひずみ計でコンクリートおよび鋼材のひずみを、スパン中央および両支点に設置したダイヤルゲージでたわみを求め、引張側より 5.0 cm 上方（左端側）に 60.0 mm 間隔で設けたコントラクションポイントによってひずみを測定した。

写真-1

4. 実験結果および考察

(1) 疲労強度

供試体はいずれも曲げスパン内で破壊しており、RC 部材は鉄筋の疲労破断によるものであるが、SRC 部材の場合は、鉄筋が先に破断したと考えられる供試体が 1 本で、残り 3 本は鉄骨が最初に破断しその後、鉄筋が破断したと考えられる。このことは鉄筋の破断面が、前者の場合、脆性破面を呈しているに対し、後者 3 本ではいずれも延性破面であると考えられるところから推察される。一方鉄骨フランジの破面は、どの場合も中央部（腹板との又：肉溶接部）で脆性を、縫端部では延性を示していた。写真-1 は鉄骨と鉄筋の破断状況である。図-1 は鉄骨および鉄筋（RC 部材）についての S-N 線図である。応力は、前記計算応力に自重の影響を加え、更に重心からずれを考慮して求めた応力である。図-2 では RC 部材の鉄筋の方が若干高い値を示している。また 200 万回に対する疲労強度を求めると、鉄骨の場合 $\sigma_F = 1840 \text{ kg/cm}^2$ 、鉄筋で $\sigma_F = 1980 \text{ kg/cm}^2$ である。降伏強度に対してこれを、51%、70%、55% である。

なお、表-1 に兩部材の静的、および疲労破壊荷重を示した。

(2) コンクリートおよび鋼材のひずみ

図-3 はコンクリートのひずみと荷重の関係について、疲労試験前と 50 万回および 200 万回繰返し後に対して図示したものである。コンクリートは兩部材とも疲労の影響をほとんどうけていないものと考えられ、弾性計算値と

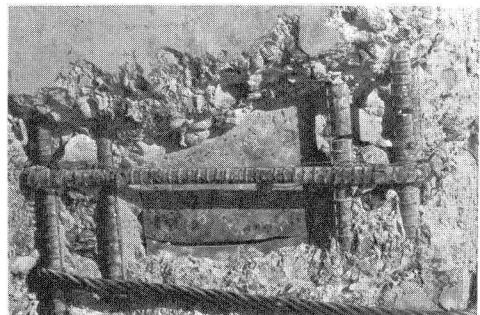


表-2 破壊荷重

供試体	静的破壊	疲労破壊
SRC 部材	49.8 ton	28.3 ton
RC 部材	20.3	12.2

図-3 S-N 線図

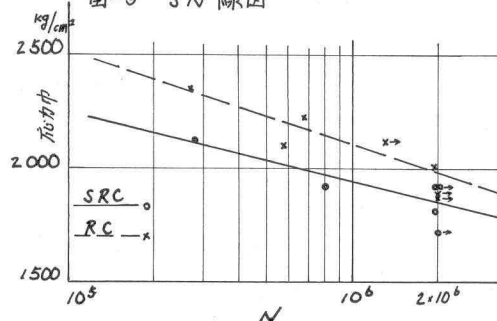
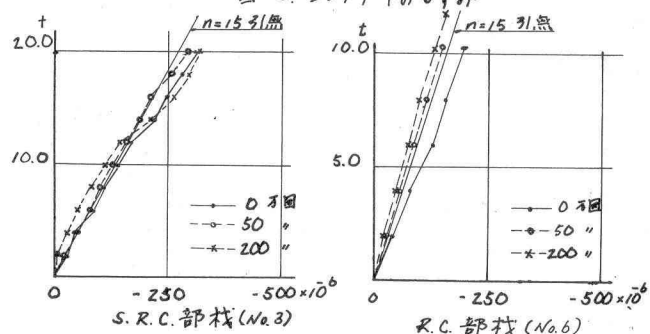
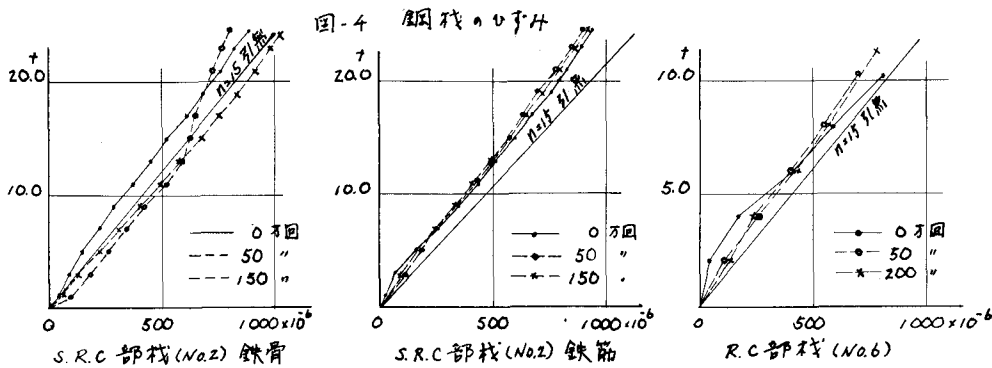


図-3. コンクリートのひずみ





比較的よく一致している。

図-4は鋼材のひずみと荷重の関係について、同じように比較したものであるが、両部材ともほらつきが少なく、弾性的性状を示している。また、S.R.C.部材において鉄骨と鉄筋のひずみ性状に差違は認められなかった。

(3) ひびわれ

ひびわれ数は両部材とも疲労試験前の静的載荷試験で大部合が発生し、初めの50万回繰返し載荷で若干増えたが、それ以後は安定する。図-5は曲げスパン内の平均ひびわれ間隔の推移を示したものであるが、50万回以後はひびわれ間隔にはほとんど変化がない。図-6は最大ひびわれ集中曲げスパン内に発生した大きなかひびわれ集中（4箇の平均値）と繰返し回数の関係である。最大ひびわれ集中は疲労試験前に比較して、初期の50万回繰返し後には6~18%程度増加するが、その後は繰返し載荷の影響をうけていなくなるものと思われる。

図-7はひびわれ集中荷重の関係を示したものである。ひびわれ中の成長は両部材とも疲労試験の前後で同じであり、残存ひびわれ集中はR.C.部材の方が大きいが、0.05mm以下であった。

(4) たわみ

スパン中央のたわみは図-8に示す通りである。両部材とも疲労試験前と繰返し後とではほとんど変化がなく、左。

残留たわみは、疲労試験前の静試験で生じるが、繰返し後はその7~8%程度であった。

図-5 平均ひびわれ間隔の推移

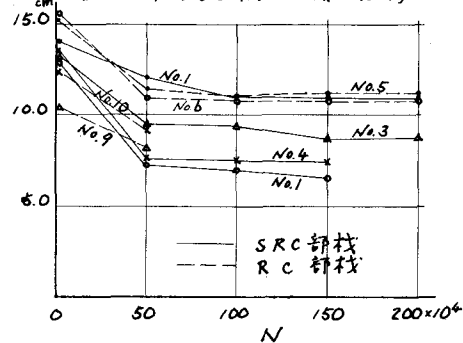


図-6 最大ひびわれ中の変化

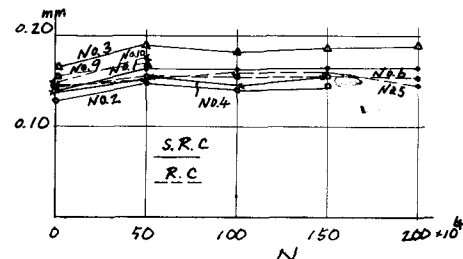
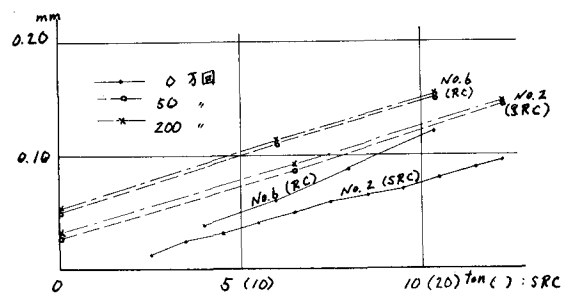


図-7 ひびわれ集中荷重曲線



5. あとがき

本実験は曲げ疲労について行
なったものであるが、以上の結
果を要約すると次のようになつた。

(1) RC部材の破壊は鉄筋の
破断によつてが、SRC部材の
場合は鉄骨の破断と考えられ
る。また、鉄骨(SM50A)
の疲労強度が鉄筋(SD30)

より下まわる。

- (2) コンクリートおよび鋼筋のひずみは繰返しの前後で、両部材とも差違は認められなかつた。
- (3) ハーフウェイ数はSRC部材を若干多く、た。ひびわれの中、残留ひびわれ中等については、両部
材とも繰返し載荷によってほんのり変化が生じた。
- (4) たわみ性状は両部材につれて、繰返しの影響が少なかつた。
- (5) 両部材とも疲労破壊の直前まで弾性的挙動を示してゐた。
- (6) 完全両振りの上限荷重は、図-9より鉄筋 $\phi = 1100 \text{ mm}^2$ 、鉄骨 $\phi = 1020 \text{ mm}^2$ 程度と推定
される。

最後に、本実験に対して御援助を戴いた東京大学
工学部コンクリート研究室の國分教授を始め、研究
室員諸君、並びに東京都立大学工学部材料実験室の
方々に謝意を表します。

図-8 たわみ-荷重曲線

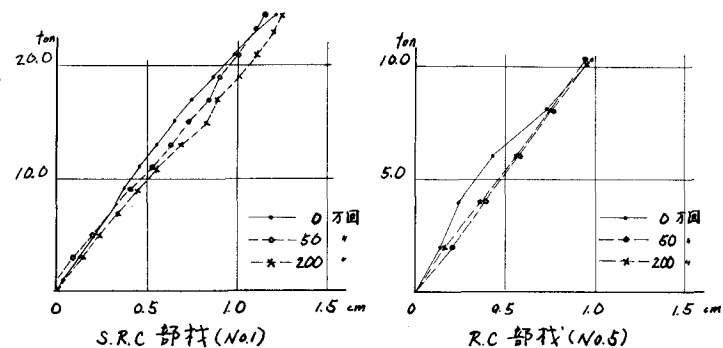
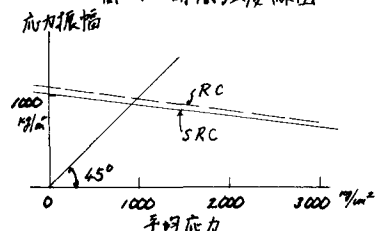


図-9 疲労強度線図



[参考文献]

- 國分正剛地 「各種の高張力異形鉄筋を用いた鉄筋コンクリート大型柱の疲労に関する研究」
コンクリートライアラリー 第14号
- 横道英雄地 「異形鉄筋を用いたRC柱の曲げ疲労試験」
コンクリートライアラリー 第14号
- 若林 実 「鉄骨鉄筋コンクリートに関する実験的研究」 東大生研報告書 第6巻 第2号

追記 本研究は、昭和42年秋12回目および昭和43年秋25回土木学会講演会にて発表したSRCに関する研究(鉄骨鉄筋コンクリート(SRC)柱の曲げ特性、鉄骨鉄筋コンクリート部材の挙動)につて、鉄骨鉄筋コンクリート部材の隅角部の設計法、鉄骨鉄筋コンクリートの土木構造物への適用に関する研究), および本講演会において発表する「鉄骨鉄筋コンクリート部材に関する研究」と関連をもつものである。